

### III-72 塚削に伴う矢板壁の挙動について

日本国有鉄道  
東京工業大学 工学部

○平野 衛  
山口柏樹  
太村 直  
成田国朝

**§1. 序** 土留矢板に付く土圧が Coulomb や Rankine の土圧論をもって最早正確に近似し得るものであることは周知のとおりである。これはもちろん壁の変位を考慮していないことと最大の原因があり、それらの差については Terzaghi などは現場の実測結果等からすぐれて指摘されています。最近故 Roscoe<sup>1)</sup> は可撓擁壁の問題に付く土圧のみならず変位の面からも考慮を加えた論文を發表し、変位の重要性を示唆する画期的な研究として注目を集めた。しかし、このような研究はまだ大数少ないものであって、今後この方面的研究が大いに期待されている。

筆者らは先に撓み性擁壁に付く土圧に關して有限要素法を用いた一解法を示したが、今回はこれを土留矢板の土圧計算に適用し、有限要素法によつてどの程度まで土留土圧を近似し得るかを試みた。なお、数値計算に際しては東京大学及び北海道大学の大型計算機を利用したことと付記する。

**§2. 解析** i) 計算モデル及び入力データ：図-1(a)のようく、半無限水平地盤に土留矢板を二列に打設し、その間を切渠で支えながら順次塹削していく場合を考究す。その右半分を（対称である故）土に對しては有限要素、矢板に對しては渠要素でモデル化したものが図-1(b)である。塹削は 2m ずつ 7 段階で行ない（計 14m 塹削）、切渠は第 2, 4, 6 段階後で計 3 本設置す。計算は表-1 に示されたようく 6 種の土圧影響因子を考究、それ等を 6 種類にわたり変化させる。

ii) 計算法：a) 有限要素法による弾塑性解析には種々の方法があるが、ここでは林氏の提案した手法を使う。これは、ある要素の応力状態が図-2 のモール円で示されるとき緩み係数  $R$  なるものを  $R = Q \frac{d}{C} (C \neq 0)$ ,  $R = Q' \frac{d}{C_{max}} (C=0)$  で定義し、 $R \rightarrow$  大  $\rightarrow E \rightarrow$  大,  $R \rightarrow$  小  $\rightarrow$  特性を  $E = E_0 (\log_{10} R + 0.01)$ ,

$$\nu = 0.5 - (0.5 - \nu_0) \log_{10} R$$

の関係式で与える。

$Q, Q'$  は定数で、これが大きな弾塑性～歪曲關係が弾完全塑性に近づく。

b) 矢板をモデル化するに渠要素を考究したのが適當である。この場合矢板の渠要素と土の有限要素をいかに結合するかが問題

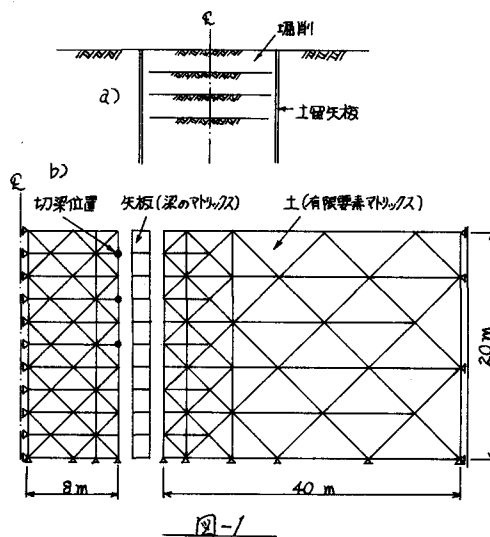


図-1

(kg/cm²単位)						
底面境界条件	土の C	矢板の I	土の $E_0$	$\nu_0$	矢板-土の 剛性比 $\delta^*$	類別 記号
固定	0.0	500	50	0.35	0	C-0
		500	0.3	15	C-1	
		250	50	0.35	0	SC-0
	0.2	500	50	0.35	0	CC-0
ローラー	0.0	500	500	0.3	0	BS-0

他のデータ

土の  $\phi$ :  $30^\circ$

矢板-切渠の  $E, \nu$ :  $2.1 \times 10^6, 0.28$

断面積 A: 矢板 3.2, 切渠 0.2 ( $\text{cm}^2/\text{cm}$ )

切渠の I:  $68.0 (\text{cm}^4/\text{cm})$

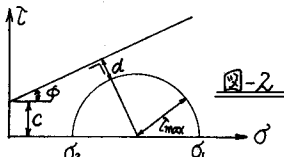


図-2

となってくれるが、それを巧妙に処理している。先の論文を参照されたい。  
①切妻ももちろん  
深要素で表わす。切妻と矢板の結合部はヒンジとする。  
②矢板と土の境界には摩擦 $f/M = \tan\delta$ を導入する。但し $\delta$ は矢板と土の相対変位によらず一定値をとるものとする。

§3. 計算結果と考察 図-3(a)～(f)は表-1の6種の計算によって得られた矢板のたわみである。図中の数字3, 5, 7は第3, 5, 7段階における値であることを意味する。これから(i)土の弾性率によって変位が著しく異なること(ii)矢板の剛性は変位にそれ程大きく効かないこと(iii)粘着力、摩擦力によって変位が幾分あらえられること等がわかる。図-3(c)は矢板背面の土の沈下を示すものである。注目すべきは矢板から少し離れた所で最大の沈下を生ずることである。これは矢板近くの土は切妻によって沈下が拘束され、少し離れた所の土は矢板の拘束によって抜け落ちる様と思われる。図-3(e)はS-1における土圧分布の推移を示したものである。他のケースも大体これと同様の傾向を示すものと考えてよい。図-3(f)はC-0, IC-0, BS-0による  
おける第3段階での土圧である。土圧の減少に関するでは計算の種類にあまり影響されないことがわかる。

#### §4. 実測例との比較

国-4(a)は実測例である。切妻の架設位置、時期及び土質が計算例と異なったため比較するには不十分であるが、大体の傾向はうかがえると思う。図-5は実測例の第1, 2, 3段階の計算例BS-0との比較を行なったものである。

静止土圧が異なるため減少率などで比較した。計算値が主動土圧を下回る値を示すことがほとんどないのは、單なる弾塑性計算では土圧の再配分の機構うまく表現し得ない

ことを意味している。

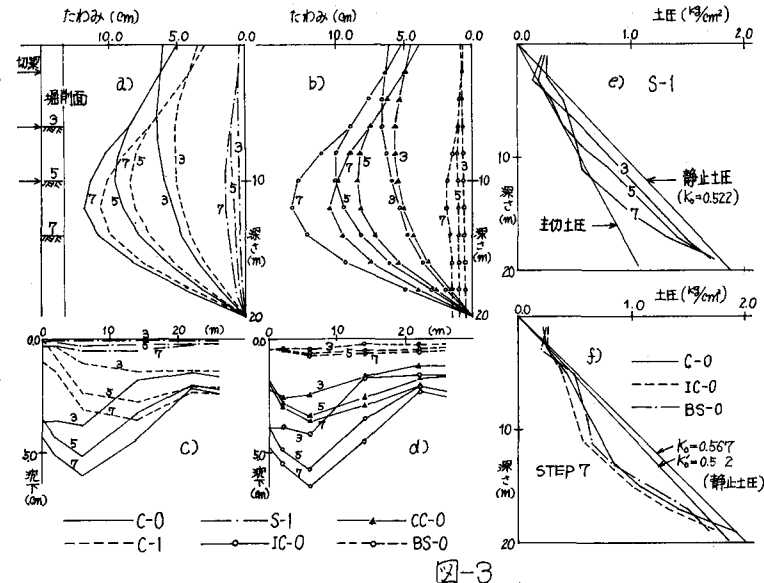


図-3

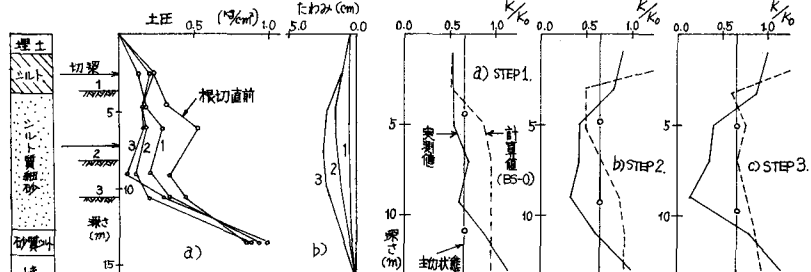


図-4

図-5

§5. 結語 本論文は矢板壁に働く土圧をいかにしてよしとすかを目標とした第一歩の段階のものであり、従ってまだまだ解決すべき問題が山積みされているはずである。土圧再配分の機構もその一つである。これらをあわせて今後の研究課題としたい。

参考文献 1) Rasmussen (1970), Geotechnique, no. 2 2) 山口他 (1971), 第6回国土工学研究発表会概要  
3) 林他 (1967), 地盤技術研究所報告, no. 6692 4) 服部他 (1971) 日本国際構造協会第4回大会概要 5) 川崎他 (1971), 土と基礎